

пропускания фотоприемного тракта. Очевидно, интерференционный метод может быть применен для определения времен жизни неравновесных электронов и дырок не только в полупроводниках, но и в диэлектриках.

Л и т е р а т у р а

- [1] А м и р о в Ю.Я., Д а н и л е в с к и й А.Н., Ч е л и н о-
к о в В.Е. - ФТП, 1976, т. 10, в. 10, с. 1986-1989.
- [2] К у р б а т о в Л.Н., О в ч и н н и к о в И.М., С о р о-
к о-Н э в и ц к и й Н.В. - УФЖ, 1985, т. 30, № 6, с. 920-
924.
- [3] Ф е д о р ц о в А.Б., Ч у р к и н Ю.В., Ш а л ы г и н В.А.,
Ш т у р б и н А.В. - Деп. ВИНИТИ № 1456-В87.
- [4] Ф е д о р ц о в А.Б., Ч у р к и н Ю.В. - Деп. ВИНИТИ
№ 1457-В87.
- [5] К а л и т е е в с к и й Н.И. Волновая оптика. М.: Физматгиз,
1971.
- [6] Р ы в к и н С.М. Фотоэлектрические явления в полупроводни-
ках. М.: Физматгиз, 1963.

Северо-Западный политехнический
институт, Ленинград

Поступило в Редакцию
23 ноября 1987 г.

Письма в ЖТФ, том 14, вып. 4

26 февраля 1988 г.

ДИНАМИКА ВЗАИМОДЕЙСТВИЯ ЛАЗЕРНОГО ИЗЛУЧЕНИЯ $\lambda = 2.94$ МКМ С ТОНКИМ СЛОЕМ ЖИДКОЙ ВОДЫ

К.Л. В о д о п ь я н о в, М.Е. К а р а с е в,
Л.А. К у л е в с к и й, А.В. Л у к а ш е в,
Г.Р. Т о к е р

Особенностью взаимодействия ЭЛ с жидкой водой является совпадение частоты излучения лазера с центром полосы валентных колебаний гидроксильных групп воды с высоким коэффициентом поглощения $\alpha = 1.3 \cdot 10^4 \text{ см}^{-1}$. Это позволяет легко достигать энерговоклад до 10^3 Дж/см^3 в тонкий слой жидкости. При поглощении излучения ЭЛ водой наблюдается эффект просветления [1] и пироэлектрическим датчиком зарегистрирована генерация субнаносекундного звука [2]. В данной работе теневыми и интерференционно-голографическими (ТИГ) методами исследовалась динамика взаимодействия излучения ЭЛ с тонким слоем воды.

Толстостенная кварцевая кювета с толщиной слоя воды $D = 5 \text{ мкм}$ облучалась импульсами ЭЛ с параметрами: энергия в TEM_{∞} моде $5-7 \text{ мДж}$, длительность импульса $\tau_p = 100 \text{ нс}$ (по уровню $1/2$), интенсивность излучения на границе кварц-жидкость

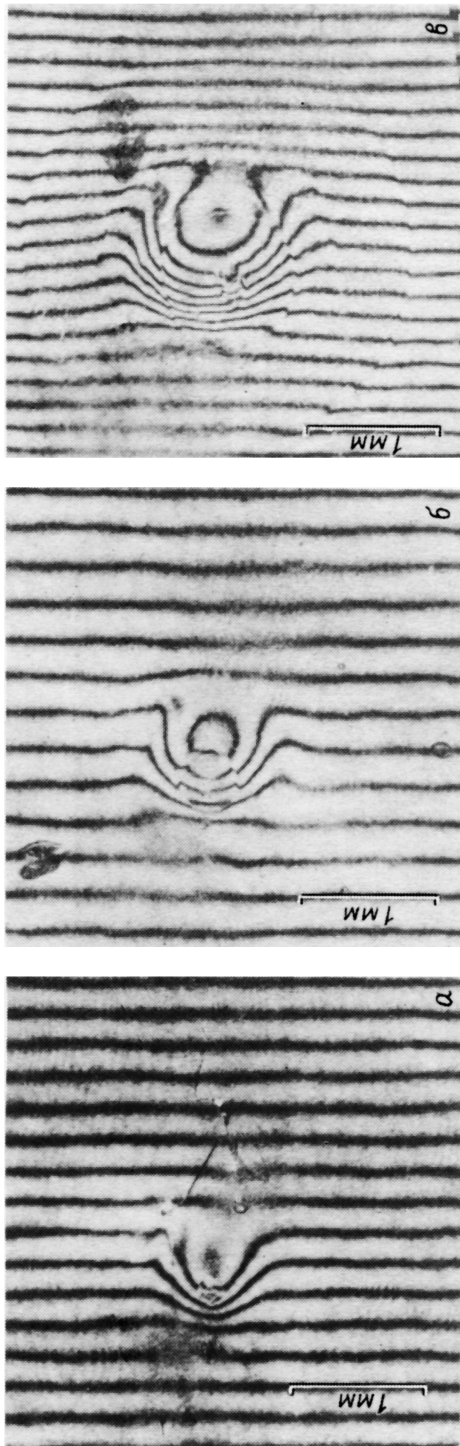


Рис. 1. Интерферограммы кюветы с водой. Сдвиг на одну полосу влево соответствует уменьшению показателя преломления на 0.1: а) $\tau_d = 40$ нс, б) $\tau_d = 80$ нс, в) $\tau_d = 400$ нс.

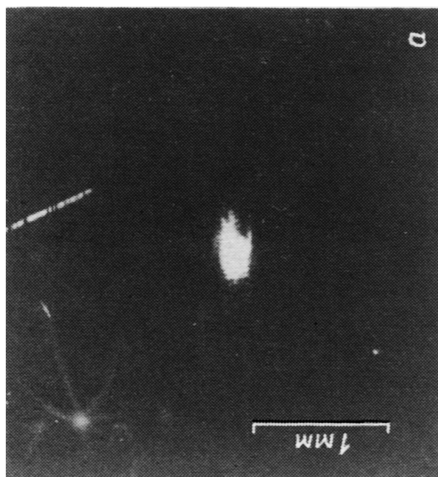
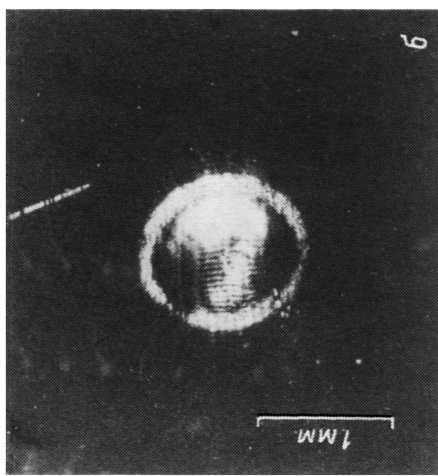
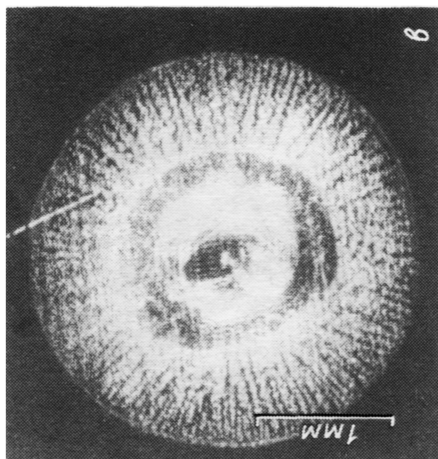


Рис. 2. Тенеграммы цвететы с водой: а) $\tau\alpha = 40$ нс, б) $\tau\alpha = 80$ нс, в) $\tau\alpha = 440$ нс.

$I_L = 45 \text{ МВт}/\text{см}^2$, площадь лазерного пятна $S = 1.4 \cdot 10^{-3} \text{ см}^2$. Энерговклад в воду достигал $10 \text{ кДж}/\text{см}^3$. В качестве диагностирующего светового импульса (ДИ) использовалось излучение второй гармоники неодимового лазера ($\lambda_p = 0.53 \text{ мкм}$) длительностью 10 нс , синхронизованное с импульсом ЭЛ с точностью 10 нс и зондирующее область взаимодействия в аксиальном направлении. Диапазон задержек τ_d от -500 до 1 мс по отношению к максимуму интенсивности ЭЛ, диаметр поля визуализации 8 мм . В эксперименте были получены серии тенеграмм и голограмм при различных задержках ДИ. Хорошая воспроизводимость экспериментальных данных при одинаковых задержках позволила расположить кадры от различных лазерных импульсов в правильной временной последовательности (рис. 1 и 2).

Анализ восстановленных интерферограмм показывает, что в центре лазерной каустики при $\tau_d = -30 \text{ нс}$ появляется фазовый объект, при $\tau_d = 60 \text{ нс}$ его характерные размеры достигают диаметра фокусировки. Сдвиг фазы соответствует только уменьшению оптической длины ($\Delta = \int n(z) dz$) в области каустики и достигает в ее центре сдвига ($K = \Delta/\lambda_p$) 3 полосы (рис. 1, а). На тенеграмме в этот момент видно пятно засветки (рис. 2, а), связанное с нарушением фокусировки на нож Фуко в оптической схеме, ввиду образования в кювете рассеивающей фазовой линзы. При этом наблюдается просветление воды: пропускание кюветы увеличивается с $1.5 \cdot 10^{-3}$ до 10^{-1} .

Хотя чувствительность ТИГ методов была достаточной для визуализации изменения показателя преломления (ИПП) кварца $\sim 5 \cdot 10^{-4}$ за время импульса ЭЛ, звуковой волны в кварце обнаружено не было, поэтому в первом приближении можно пренебречь ИПП кварца. Отсутствие областей с увеличенной оптической длиной указывает на отсутствие выноса массы из каустики и изменения плотности жидкости в ней. Таким образом, изменение оптической длины в кювете связано с ИПП воды ($\Delta n = -0.3$) при $\rho = \text{const}$.

При возбуждении валентных колебаний гидроксильных групп в воде происходит быстрая релаксация ($\sim 10^{-11} \text{ с}$ [3]) в другие степени свободы (нагрев, диссоциация, ионизация, изменение структуры вещества и т.д.). Феноменологическое объяснение уменьшения показателя преломления воды может быть дано следующим образом.

Известна формула для ИПП воды с учетом влияния температуры [4]:

$$\Delta n = 0.334 \left(\frac{\rho}{\rho_0} - 1 \right) + \left(\frac{\partial n}{\partial T} \right)_\rho (T - 273) \frac{\rho}{\rho_0},$$

где $\left(\frac{\partial n}{\partial T} \right)_\rho = -1.9 \cdot 10^{-5} \text{ К}^{-1}$.

Оценку температуры можно сделать, зная c_V в широком диапазоне температур. Для воды при $T > 900 \text{ К}$ и $\frac{\rho}{\rho_0} \sim 1$ молярную теплоемкость можно представить в следующем виде [5]: $c_V \approx 4R + \sum_i c_i$, $\sum_i c_i = R \cdot \sum_{i=1}^3 \left(\frac{T_i}{T} \right)^2 \exp \left(-\frac{T_i}{T} \right) / \left(1 - \exp \left(-\frac{T_i}{T} \right) \right)^2$,

где T_i - температура колебательных квантов пара $T_i = 2295$, 5260, 5400 К. При энерговкладе ~ 10 кДж/см³ оценка дает $T \sim 3500$ К. За время τ_e тепло не успевает выйти за пределы лазерной каустики ($\sqrt{x\tau_e} \sim 10^{-5}$ см, где x - температуропроводность). Для объяснения ИПП воды в этом случае необходимо предположить зависимость $(\frac{\partial n}{\partial T})_p$ от температуры. Представляя в простейшем виде $(\frac{\partial n}{\partial T})_T = (\frac{\partial n}{\partial T})_p (1 + \beta \Delta T)$, находим $\beta = 9.4 \times 10^{-4}$ К⁻¹. Полученное значение β не противоречит экспериментальным данным о постоянстве $(\frac{\partial n}{\partial T})_p$ в диапазоне от 275 до 368 К [6]. Изменяя энерговклад, можно определить точный вид этой зависимости, однако микроскопический механизм столь значительного уменьшения показателя преломления остается не выясненным.

При $\tau_d \sim 60-70$ нс в кювете образуются: по краю лазерной каустики область уплотнения, а в центре - парогазовый пузырь (рис. 1, б и 2, б). Области уплотнения на тенеграмме соответствует светлое кольцо. С течением времени внешняя граница области расширяется. При $\tau_d = 400$ нс передний фронт волны уплотнения опрокидывается, приводя к разрыву плотности на фронте (рис. 1, в). Геометрия эксперимента $\frac{D}{c_s} < \tau_e$ и $R > w$ (c_s - скорость звука в среде, R - радиус ударной волны, w - характерный размер каустики) определяет цилиндрическую симметрию возникающей УВ, скорость распространения 2.4 км/с. По значению скорости и изменению плотности, полученной из интерферограмм, можно определить давление в УВ. В нашем случае $P_{sh} = 12$ кбар, что примерно совпадает с расчетами по ударным адиабатам [7]. Интенсивность УВ $I_{sh} = 40$ МВт/см², коэффициент преобразования $\gamma = \frac{I_{sh}}{I_d} = 0.9$. На тенеграмме (рис. 2, в) кроме сформировавшегося фронта УВ наблюдается образование радиальной структуры за фронтом УВ ввиду периодического изменения плотности по полярному углу. По-видимому, такая структура связана с развитием неустойчивости и турбулизацией течения за фронтом УВ.

При сосредоточенном энерговкладе формирование УВ происходит за время $\tau \sim \frac{w}{c_s}$. В отличие от известных экспериментов по лазерному возбуждению УВ в жидкости, при использовании ЭЛ за счет огромного поглощения нет необходимости острой фокусировки излучения в воде. Это увеличивает время формирования УВ и в сочетании с короткими ДИ позволяет визуализировать этот процесс. Наличие в кювете стенок с высоким акустическим импедансом приводит к практически полному преобразованию лазерного излучения в УВ.

Исследование взаимодействия трехмикронного лазерного излучения с гидрооксидсодержащими жидкостями представляет несомненный практический интерес [8]. Проведенные исследования показали, что при этом наблюдаются физические процессы, заслуживающие дальнейшего экспериментального и теоретического изучения.

Л и т е р а т у р а

- [1] Водопьянов К.Л., Кулевский Л.А., Пашинин П.П., Прохоров А.М. - ЖЭТФ, 1982, т. 82, с. 1820-1823.
- [2] Водопьянов К.Л., Кулевский Л.А., Михалевич В.Г., Родин А.М. - ЖЭТФ, 1986, т. 91, с. 114-120.
- [3] Эйзенберг Д., Кауцман В. Структура и свойства воды / Пер. с англ. Л.: Гидрометеоиздат, 1975. 273 с.
- [4] Зельдович Я.Б., Кормер С.Б., Синицын М.В., Юшко К.Б. - ДАН, 1961, т. 138, с. 1333-1336.
- [5] Кузнецов Н.М. - ПМТФ, 1961, т. 1, с. 112-120.
- [6] Ерохин А.И., Морачевский Н.В., Файзулов Ф.С. Препринт ФИАН № 122 М., 1977. 29 с.
- [7] Rice M., Walsh J. - J. Chem. Phys., 1957, v. 26, p. 824-830.
- [8] Wolbarsht M. - IEEE J. QE-20, 1984, p. 1427-1432.

Институт общей физики
АН СССР, Москва

Поступило в Редакцию
12 октября 1987 г.

Письма в ЖТФ, том 14, вып. 4

26 февраля 1988 г.

МЕТАСТАБИЛЬНОСТЬ ФОТОЭМИССИИ ИЗ ПОЛУПРОВОДНИКОВ С ОТРИЦАТЕЛЬНЫМ СРОДСТВОМ К ЭЛЕКТРОНУ

Н.Т. Баграев

В сильнолегированных полупроводниках р-типа, поверхность которых активирована цезием и кислородом, энергетический уровень выхода электронов в вакуум может находиться ниже дна зоны проводимости, что автоматически приводит к реализации отрицательного сродства к электрону (ОЭС) [1]. Данная система интенсивно используется в качестве эффективного источника электронов в различных полупроводниковых приборах для получения пучков поляризованных электронов, которые применяются в разных областях физики высоких энергий, молекулярной физики и физики поверхности [1-3]. Изучение фотоэмиссии из полупроводников с ОЭС обеспечивает получение информации о свойствах объема и поверхности кристаллов, пленок и двумерных слоев, а также - о структуре зоны проводимости [2, 3]. Важным вопросом остается изучение влияния структурных дефектов на условия транспорта фотовозбужденных электронов и пиннинг уровня Ферми вблизи поверхности (рис. 1,а) [4], которые определяют эффективность эмиссии из полупроводников